

# Al<sub>4</sub>C<sub>3</sub>对AZ91D镁合金铸态显微组织与性能的影响

刘生发, 王小虎, 韩辉, 刘林艳, 李波, 苏伟

(武汉理工大学, 湖北 武汉 430070)

**摘要:** 借助SEM、EDS、XRD、DTA研究Al<sub>4</sub>C<sub>3</sub>对AZ91D镁合金铸态显微组织与性能的影响。结果表明, 少量Al<sub>4</sub>C<sub>3</sub>对合金铸态组织具有明显的细化作用, 而且其晶组织形貌发生明显改变, 由完全离异的骨骼状 $\beta$ 相共晶组织和共生长的层片状共晶组织 $\alpha+\beta$ 转变为蜂窝状的部分离异共晶组织 $\alpha+\beta$ , 同时 $\beta$ 相的尺寸变小、分布更趋弥散。通过能谱分析、差热分析以及错配度的计算, 证实Al<sub>4</sub>C<sub>3</sub>可成为初生 $\alpha$ -Mg的良好异质核心。显微组织的细化使强度性能明显提高, 延伸率的提高幅度有限, 耐腐蚀性能改善。

**关键词:** AZ91D镁合金; Al<sub>4</sub>C<sub>3</sub>; 晶粒细化; 力学性能; 腐蚀性能

中图法分类号: TG146.2<sup>+2</sup>

文献标识码: A

文章编号: 1002-185X(2009)07-1246-04

镁合金具有密度小、比强度和比刚度高等优点。目前, Mg-Al系中的AZ91D铸造镁合金应用最广泛, 但其结晶温度区间较宽, 晶粒有明显的粗化倾向, 且容易产生热裂和显微疏松等铸造缺陷, 对力学性能和耐蚀性能不利。研究表明, 晶粒细化能有效地减少铸造缺陷, 是提高镁合金强韧性的有效措施<sup>[1,2]</sup>。

目前应用于镁合金的晶粒细化方法可归结为熔体变质法和强外场法, 其中加碳变质法被认为是Mg-Al系镁合金很有效的晶粒细化方法。可作为镁合金晶粒细化剂的含碳化合物很多, 但容易产生一些有毒的挥发性物质, 对环境不利。此外, 存在细化效果不佳、操作不便等缺点, 而且生成的Al<sub>4</sub>C<sub>3</sub>含量无法定量控制<sup>[3~5]</sup>。本实验则直接加入Al<sub>4</sub>C<sub>3</sub>粉末研究其对AZ91D镁合金显微组织、力学性能及耐腐蚀性能的影响, 并探讨其细化机制。

## 1 实验

实验采用工业用AZ91D镁合金锭, 其化学成分(质量分数, 下同)为: Al8.6895%, Zn0.6691%, Mn0.2314%, 其余为Mg。Al<sub>4</sub>C<sub>3</sub>粉末由美国Alfa Aesar A Matthey Company生产, 平均粒度为4.26 μm。合金熔炼采用井式坩埚电阻炉, 并以RJ2熔剂保护, Al<sub>4</sub>C<sub>3</sub>粉末用铝箔包裹加入到720 °C的合金熔体内, 搅拌均匀后浇入预热温度约200 °C的金属模具(Φ50 mm×100 mm)中。

采用扫描电镜(SEM)、能谱仪(EDS)和X射线衍射(XRD)仪观察合金的铸态显微组织、元素分布和相组成。使用ImageTool软件测定晶粒尺寸和晶粒面积。采用型号为DTA7系列的差热分析仪测定试样的冷却曲线。尺寸为Φ8 mm×50 mm的拉伸试样进行T6处理: 415 °C, 10 h(水淬)+200 °C, 10 h(空冷), 采用RG-100微机控制电子万能拉伸试验机进行拉伸试验。极化曲线的测定采用标准的三电极测试体系, 电解质为3.5%NaCl溶液, 温度为25 °C, 电位扫描区间为-200~+200 mV, 扫描速度为0.5 mV/s。

## 2 结果与分析

### 2.1 铸态组织

图1和图2分别为AZ91D合金的低倍和高倍显微组织。由图1a和图2a可知, 基体AZ91D合金的铸态显微组织由粗大的树枝状的 $\alpha$ -Mg固溶体、不均匀分布在晶界周围的粗大骨骼状离异共晶 $\beta$ -Mg<sub>17</sub>Al<sub>12</sub>相和少量层片状的 $\alpha+\beta$ 共晶组织组成。加入0.3%Al<sub>4</sub>C<sub>3</sub>后,  $\alpha$ -Mg基体明显变细, 粗大骨骼状 $\beta$ 相变得细小, 部分在晶界处呈现网状分布, 同时层片状的 $\alpha+\beta$ 共晶数量相对减少(图1b和图2b)。加入0.6%Al<sub>4</sub>C<sub>3</sub>后,  $\alpha$ -Mg细化程度提高且均匀性较好, 部分骨骼状的 $\beta$ 相变成了岛状, 共晶 $\beta$ 内的粒状 $\alpha$ -Mg相数量增多, 层片状的共晶 $\alpha+\beta$ 相明显减少(图1c和图2c)。添加Al<sub>4</sub>C<sub>3</sub>至0.9%,  $\alpha$ -Mg进一步细化, 有粒状 $\beta$ 相出现。Al<sub>4</sub>C<sub>3</sub>增至1.2%时,  $\alpha$ -Mg显著细化,

收到初稿日期: 2008-06-23; 收到修改稿日期: 2008-08-15

基金项目: 湖北省科技攻关项目(2007AA101C37)

作者简介: 刘生发, 男, 1964年生, 博士, 教授, 武汉理工大学材料学院, 湖北 武汉 430070, 电话: 027-87664610, E-mail:liusfa@163.com

绝大多数共晶 $\beta$ 相已经从粗大的骨骼状变成岛状或粒状, 共晶 $\beta$ 相内部有大量的颗粒状共晶 $\alpha$ -Mg存在, 层

片状的共晶 $\alpha+\beta$ 相基本消失, 最终形成蜂窝状的 $\alpha+\beta$ 共晶组织(图1d和图2d)。

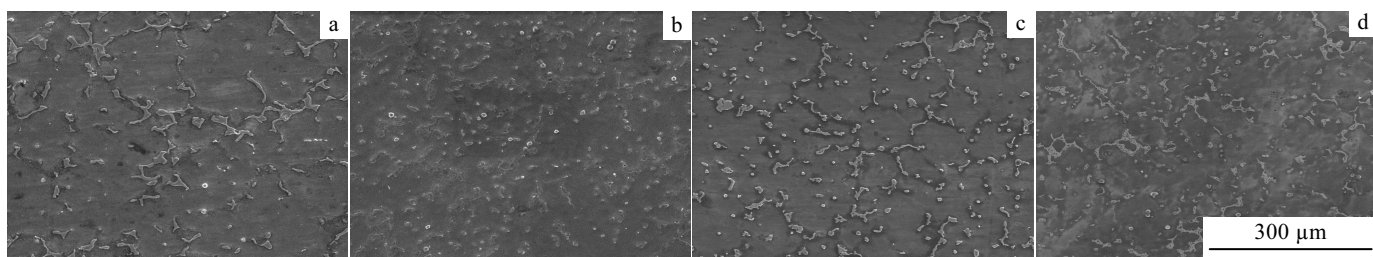


图1 不同  $\text{Al}_4\text{C}_3$  含量下 AZ91D 合金的铸态显微组织

Fig.1 Effect of  $\text{Al}_4\text{C}_3$  content on as-cast microstructure of AZ91D alloy: (a) 0 % $\text{Al}_4\text{C}_3$ ; (b) 0.3 % $\text{Al}_4\text{C}_3$ ; (c) 0.6 % $\text{Al}_4\text{C}_3$ ; and (d) 1.2 % $\text{Al}_4\text{C}_3$

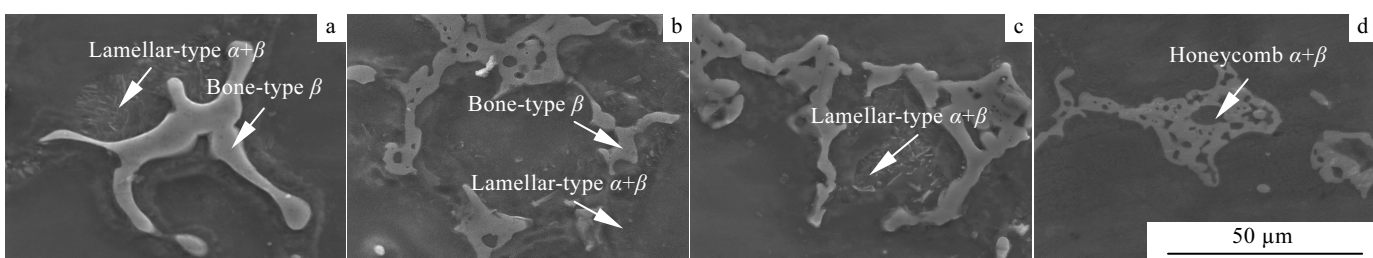


图2 不同  $\text{Al}_4\text{C}_3$  含量下 AZ91D 合金中第二相形貌

Fig.2 Morphologies of  $\beta$  phase in AZ91D alloy with different contents of  $\text{Al}_4\text{C}_3$ : (a) 0%  $\text{Al}_4\text{C}_3$ ; (b) 0.3%  $\text{Al}_4\text{C}_3$ ; (c) 0.6%  $\text{Al}_4\text{C}_3$ ; and (d) 1.2%  $\text{Al}_4\text{C}_3$

$\text{Al}_4\text{C}_3$ 颗粒的加入, 一方面作为初生 $\alpha$ -Mg的形核基底, 另一方面多余的 $\text{Al}_4\text{C}_3$ 颗粒被富集在剩余液相中, 当初生 $\alpha$ -Mg形成骨架后, 未凝固的区域形成许多小熔池, 熔池内富集大量的 $\text{Al}_4\text{C}_3$ 颗粒, 在共晶凝固时作为共晶 $\alpha$ -Mg相的形核基底, 且随着 $\text{Al}_4\text{C}_3$ 含量的增加, 所形成的核心数量增加, 最终形成蜂窝状的 $\alpha+\beta$ 的共晶组织, 如图2d所示。对加入1.2% $\text{Al}_4\text{C}_3$ 后的合金进行XRD分析表明, 合金中无新相生成, 仍由 $\alpha$ -Mg和 $\beta$ 两相组成。

利用 Imagetool 软件测量晶粒平均尺寸和平均面积。当加入 0.3% $\text{Al}_4\text{C}_3$  后, 晶粒的平均晶粒尺寸和面积分别由基体合金的 86  $\mu\text{m}$  和 5411  $\mu\text{m}^2$  降至 66  $\mu\text{m}$  和 3400  $\mu\text{m}^2$ 。随着  $\text{Al}_4\text{C}_3$  含量进一步增加到 0.6% 和 0.9%, 平均晶粒尺寸则减小至 65 和 57  $\mu\text{m}$ , 面积降至 3396 和 3000  $\mu\text{m}^2$ 。加入 1.2% $\text{Al}_4\text{C}_3$  时, 晶粒的平均晶粒尺寸和面积最低降至 50  $\mu\text{m}$  和 2320  $\mu\text{m}^2$ , 降低幅度达 42% 和 57%。

## 2.2 细化机制

### 2.2.1 $\text{Al}_4\text{C}_3$ 的异质形核作用

图3为加入 0.6% $\text{Al}_4\text{C}_3$  后合金的 SEM 照片和能谱

分析。与周围的基体相比, 白色微粒中富含有较多的 C、Al、O 元素, 证实了  $\text{Al}_4\text{C}_3$  颗粒可成为初生  $\alpha$ -Mg 的异质晶核。 $\text{Al}_4\text{C}_3$  与  $\alpha$ -Mg 均为六方晶系, 两者的晶格常数( $\text{Al}_4\text{C}_3$ :  $a=0.333\ 88\ \text{nm}$ ,  $c=0.499\ 00\ \text{nm}$ ; Mg:  $a=0.320\ 88\ \text{nm}$ ,  $c=0.521\ 07\ \text{nm}$ )相近, 且  $\text{Al}_4\text{C}_3$  是高熔点(2100  $^\circ\text{C}$ )高稳定化合物, 因此, 熔体中大量弥散的  $\text{Al}_4\text{C}_3$  颗粒可成为初生  $\alpha$ -Mg 的异质晶核, 导致 AZ91D 合金的晶粒细化。

$\text{Al}_4\text{C}_3$  作为初生  $\alpha$ -Mg 的形核基底的潜力可以通过晶体学的计算来验证。基于 Bramfitt 的二维点阵错配度理论模型<sup>[6]</sup>, 计算结果表明, Mg 和  $\text{Al}_4\text{C}_3$  在低指数晶面(0001)上沿 3 个低指数晶向的面错配度为 3.79%, 并且  $(10\bar{1}0)_{\text{Mg}} // (10\bar{1}0)_{\text{Al}_4\text{C}_3}$  有最小的二维点阵错配度, 为 3.35%, 这两组晶格错配度都小于 6%, 由此可见,  $\text{Al}_4\text{C}_3$  是  $\alpha$ -Mg 相非常有效的异质晶核。

### 2.2.2 DTA 分析

图4为基体合金和加入 0.6% $\text{Al}_4\text{C}_3$  后合金的 DTA 分析, 其特征值发生了明显变化。 $\text{Al}_4\text{C}_3$  加入对合金凝固曲线的影响主要表现在以下几个方面: (1)  $\alpha$ -Mg 开始析出温度  $T_N$  和最大形核温度  $T_G$  都有提高。 $T_N$  的提

高表明  $\text{Al}_4\text{C}_3$  作为异质晶核, 使合金在较高的温度时发生  $L \rightarrow L + \alpha\text{-Mg}$  转变; (2) 合金的过冷度  $\Delta T(T_{\text{N}} - T_{\text{G}})$  由  $2.9^{\circ}\text{C}$  减小至  $1.8^{\circ}\text{C}$ , 表明异质核心的存在, 熔体在较小的过冷条件下可获得细晶组织; (3) 初生  $\alpha$  相开始析出到最大析出的时间段由  $17.4\text{ s}$  缩短到  $10.5\text{ s}$ , 在 DTA 曲线上表现为曲线变得陡峭, 表明此时有大量热量放出, 即产生了大量晶核, 使得生长呈爆发型; (4) 初生  $\alpha$  相开始析出到析出终止这段时间由  $83.7\text{ s}$  延长到  $117.7\text{ s}$ , 表明  $\text{Al}_4\text{C}_3$  的加入对  $\alpha\text{-Mg}$  生长有强烈的阻碍作用。

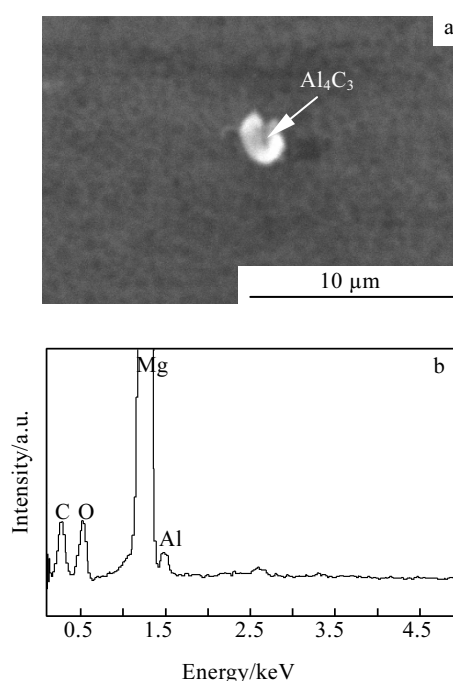


图 3  $\text{Al}_4\text{C}_3$  加入量 0.6 % 合金的 SEM 照片和能谱分析

Fig.3 SEM image (a) and EDS analysis (b) of AZ91D alloy with 0.6% $\text{Al}_4\text{C}_3$  addition

### 2.3 力学性能与腐蚀性能

合金(T6 状态)在室温下的力学性能见表 1。由表可知, 合金的抗拉强度和硬度随着  $\text{Al}_4\text{C}_3$  含量的增加而提高, 延伸率有所增加。当  $\text{Al}_4\text{C}_3$  含量达到 1.2% 时, 其抗拉强度增加 34.2%, 硬度增加 38.6%, 但延伸率变化有限。力学性能的提高可归结于细晶强化。

合金极化曲线的 Tafel 拟合结果见表 2。由表 2 可知,  $\text{Al}_4\text{C}_3$  的加入使得 AZ91D 合金极化曲线的阳极 Tafel 斜率  $b_A$  逐渐增大, 自腐蚀电位( $E_{\text{corr}}$ )升高, 自腐蚀电流( $I_{\text{corr}}$ )减小。在加入 0.6% $\text{Al}_4\text{C}_3$  后, 合金的耐蚀性明显提高, 腐蚀电流密度由  $0.7424\text{ A/cm}^2$  锐减到  $0.1079\text{ A/cm}^2$ , 合金的腐蚀速率也由  $8.7\text{ mm/a}$  下降到  $2.4\text{ mm/a}$ 。由此可知,  $\text{Al}_4\text{C}_3$  的加入可以改善 AZ91D

合金的耐腐蚀性能。

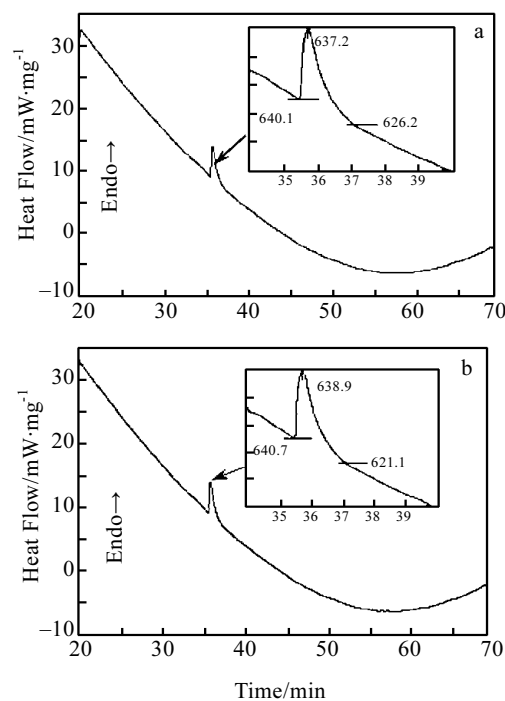


图 4 不同  $\text{Al}_4\text{C}_3$  含量 AZ91D 镁合金的 DTA 曲线

Fig.4 DTA curves of AZ91D alloy without  $\text{Al}_4\text{C}_3$  (a) and with 0.6% $\text{Al}_4\text{C}_3$  (b)

表 1  $\text{Al}_4\text{C}_3$  加入量对 AZ91D 合金力学性能的影响

Table 1 Effect of  $\text{Al}_4\text{C}_3$  on the mechanical properties of AZ91D alloy

$\text{Al}_4\text{C}_3/\%$	Mechanical property (T6)		
	$\sigma_b/\text{MPa}$	$\delta/\%$	HB/MPa
0	158	1.2	570
0.6	180	1.4	660
1.2	212	1.6	790

表 2 合金极化曲线的 Tafel 拟合结果

Table 2 Tafel fitting results of polarization curve of alloys

$\text{Al}_4\text{C}_3/\%$	Corrosion performance				Corrosion rate/ $\text{mm}\cdot\text{a}^{-1}$
	$b_A/\text{mV}$	$b_c/\text{mV}$	$I_{\text{corr}}/\text{A}\cdot\text{cm}^{-2}$	$E_{\text{corr}}/\text{V}$	
0	40.76	1183.46	0.7424	-1.5117	8.7
0.6	44.68	333.15	0.1079	-1.5241	2.4
1.2	47.55	91.56	0.1238	-1.5679	2.7

### 3 结 论

1) 在AZ91D镁合金中加入(0.3%~1.2%) $\text{Al}_4\text{C}_3$ 可明显细化 $\alpha$ -Mg晶粒, 晶粒尺寸由未细化前的86  $\mu\text{m}$ 降至到约50  $\mu\text{m}$ , 同时 $\beta$ 相的形貌发生明显改变, 分布更趋弥散。

2)  $\text{Al}_4\text{C}_3$ 对显微组织的细化有利于合金力学性能的提高和耐蚀性的改善。

#### 参考文献 References

- [1] Kubota K, Mabuchi M, Higashi K. *J Mater Sci*[J], 1999, 34(10): 2255
- [2] Aliravci C A, Gruzleski J E, Dimaylga F C. *AFS Trans*[J], 1992, 353
- [3] Yano E, Tamura Y, Motegi T et al. *Mater Trans*[J], 2003, 44(1): 107
- [4] Lu L, Dahle A K, StJohn D H. *Scripta Materialia*[J], 2005, 53: 517
- [5] Liu S F, Liu L Y, Kang L G. *J Alloy Compd*[J], 2008, 450(1~2): 546
- [6] Bruce L Bramfitt. *Metall Trans*[J], 1970, 1(5): 1987

## Effect of $\text{Al}_4\text{C}_3$ on the As Cast Microstructure and Properties of AZ91D Magnesium Alloy

Liu Shengfa, Wang Xiaohu, Han Hui, Liu Linyan, Li Bo, Su Wei

(Wuhan University of Technology, Wuhan 430070, China)

**Abstract:** The effects of  $\text{Al}_4\text{C}_3$  on the microstructure and performances of AZ91D alloy are studied by using SEM, EDS, DTA and DTA. It is found that a small amount  $\text{Al}_4\text{C}_3$  addition to AZ91D magnesium alloy leads to the  $\alpha$ -Mg grain size obvious decreasing, causes the eutectic microstructure morphology marked change from the fully-divorced  $\beta$  eutectic phase and lamellar  $\alpha+\beta$  eutectic structure to honeycomb partially-divorced  $\alpha+\beta$  eutectic structure, and the  $\beta$ -phases diminution of size and tendency to dispersed distribution. Based on the analysis of EDS, DTA and the calculation of disregistry between  $\text{Al}_4\text{C}_3$  and Mg, it is found that the  $\text{Al}_4\text{C}_3$  particles can act as the heterogeneous nuclei. The strength properties are significantly improved due to the microstructural refinement of AZ91D alloy, but a little change of elongation percentage, and slight increase of corrosion resistance.

**Key words:** AZ91D magnesium alloy;  $\text{Al}_4\text{C}_3$ ; grain refinement; mechanical properties; corrosion properties

---

Biography: Liu Shengfa, Ph. D., Professor, School of Materials Science and Engineering, Wuhan University of Technology, Wuhan 430070, P. R. China, Tel: 0086-27-87664610, E-mail: liusfa@163.com